

I-2 棒構造内の2次元粘弹性波動伝播について

広島大学工学部 正員 佐藤 誠

1. はじめに

粘弹性体内の波動伝播特性の1つは、入射パルスの波面通過後の領域において、緩和現象により伝播速度が時間とともに変化することである。したがって粘弹性体の波動伝播解析を行おう場合に、準静的な実験から得られた弾性定数を用いて逐次積分を行おうと安定性の条件を満たさないことがある。こゝはそれらについて検討するために correspondence principle¹⁾を用いていくつかの線型粘弹性モデルの緩波伝播速度および弾性定数の時間変化を示し、これらに対する棒構造内の粘弹性波伝播解析を行おう。

2. 粘弹性体の応力-ひずみ関係

線型粘弹性体の応力-ひずみ関係は線型微分演算子 P, Q, P', Q' を用いると次式で表わされる。

$$P\sigma_{ij} = Q\varepsilon_{ij}, \quad (1) \quad P'\sigma_{ii} = Q'\varepsilon_{ii}. \quad (2)$$

しかし以下では、よく用いられるように体積弾性定数 K が弾性体の場合と同じであると仮定して $Q'/P'=3K$ とする。^{(1), (2)}より次式が得られる。

$$\sigma_{ij} = \frac{Q}{P}\varepsilon_{ij} + (K - \frac{Q}{3P})\delta_{ij}\varepsilon_{kk}. \quad (3)$$

弾性体の場合には $Q/P=2\mu$ である。ただし μ はせん断弾性定数である。

correspondence principle¹⁾を用いると Fig. 1 に示す4種類のモデルの μ_v は次式となる。左端 $\lambda_v = K - \frac{2}{3}\mu_v$

$$(1) Maxwell model; \quad \mu_v = \mu_u T_{1u} / (1+T_{1u}), \quad (4)$$

$$(2) Voigt model; \quad \mu_v = \mu_p (1+T_{2p}), \quad (5)$$

$$(3) 3 parameter model (I); \quad \mu_v = \mu_u (m+T_{1u}) / (1+T_{1u}), \quad (6)$$

$$(4) 3 parameter model (II); \quad \mu_v = m\mu_u (1+T_{2p}) / (1+mT_{2p}). \quad (7)$$

ここで $m\mu_u = \mu_r$ であり、 μ_u は非緩和の μ 、 μ_p は緩和後の μ 、
 T_1 は緩和時間、 T_2 は遅延時間である。また図はラプラス変換パラメータである。

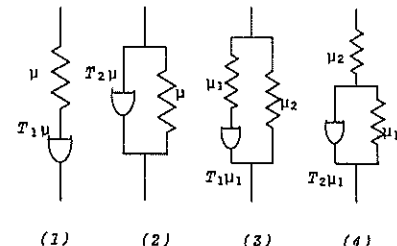


Fig. 1

3. 粘弹性体の波動方程式

物体力を無視した運動方程式は次式である。 $\rho\ddot{\omega}_i = \sigma_{ij,j}. \quad (8)$

(3), (8) および変位とひずみの関係から (8) は次式となる。

$$\rho\ddot{\omega}_i = \frac{Q}{2P}\mu_{ij,jj} + \frac{1}{3}(3K + \frac{2}{3}\frac{Q}{P})\mu_{jj,ii}. \quad (9)$$

(9) から体積変化および回転に対する波動方程式は

$$\rho\ddot{\epsilon}_{ii} = \frac{1}{3}(3K + \frac{2Q}{P})\nabla^2\varepsilon_{ii}, \quad (10) \quad \rho\ddot{\omega}_i = \frac{Q}{2P}\nabla^2\omega_i. \quad (11)$$

とおり、correspondence principle¹⁾を適用すると緩和後と非緩和との緩波の伝播速度の比 $\theta = c_n/c_u$ はそれぞれモデルに対して次式となる。

$$(1) Maxwell model; \quad \theta^2 = \frac{3K + 4\mu_u \exp(-t/T_1)}{3K + 4\mu_u}, \quad (12)$$

$$(2) Voigt model; \quad \theta^2 = \frac{3K + 4\mu_p (1+T_{2p})}{3K + 4\mu_p}, \quad (13)$$

$$(3) 3 parameter model (I); \quad \theta^2 = \frac{3K + 4\mu_u ((1-m)\exp(-t/T_1) + m)}{3K + 4\mu_u}, \quad (14)$$

$$(4) 3 parameter model (II); \quad \theta^2 = \frac{3K + 4\mu_p ((1-m)\exp(-t/mT_{2p}) + m)}{3K + 4\mu_p}. \quad (15)$$

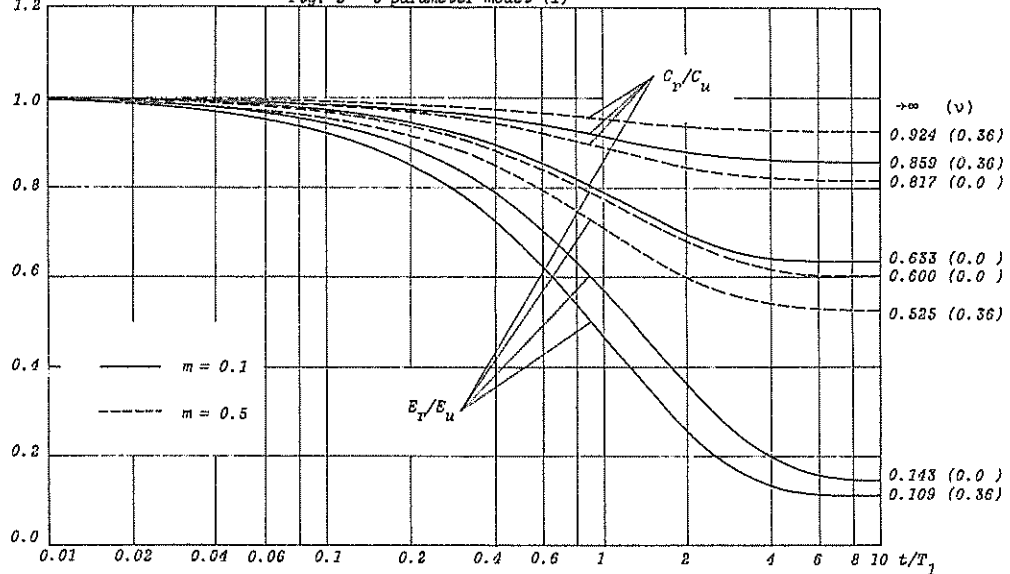
4. 考察

Fig. 2,3 にはそれぞれ(4), (5)から求めた C_r/C_u と (6), (7)から同様にして求めた E_r/E_u を $m=0.1, 0.5$ に対して図示。非緩和のボアソン比 ν_u について示した。これより粘弾性体では屈波伝播速度から求めた動的弾性係数が静的な値の数倍以上に大きくなる説明され、また一軸引張りのクリープ曲線から粘弾性モデル定数を求める方法が示された。 C_r/C_u からは逐次積分を行なうときの安定性を保持するため、空間分割長さと時間分割長さとの比が2でなければならない。なお棒構造、2次元解剖例は講演当日発表する。

$C_r/C_u, E_r/E_u$

1.2

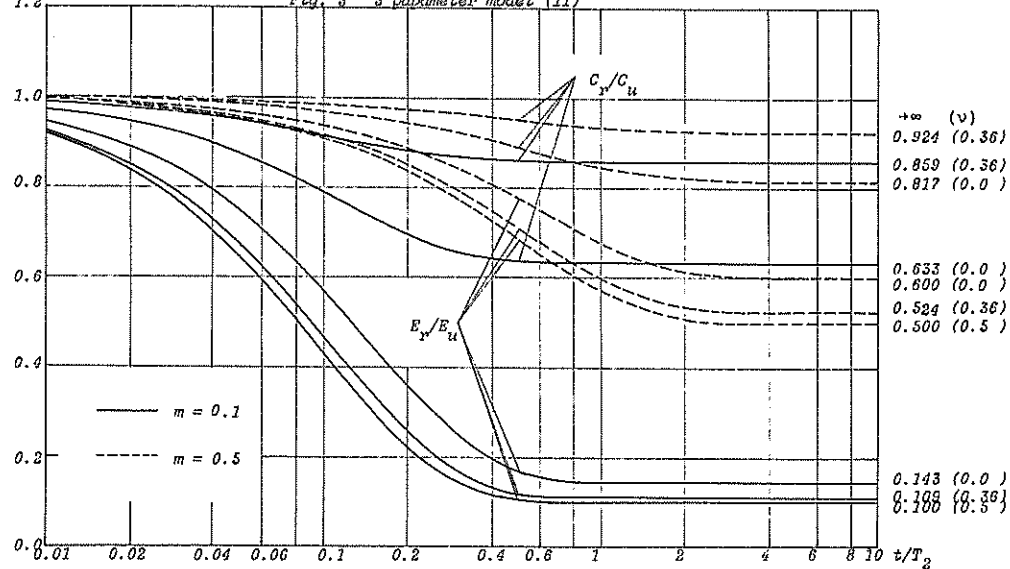
Fig. 2 3 parameter model (I)



$C_r/C_u, E_r/E_u$

1.2

Fig. 3 3 parameter model (II)



1) Elzéar Hieber, J.P.H., "Stress Analysis in Viscoelastic Bodies using Finite Elements and a Correspondence Rule with Elasticity", Journal of Strain Analysis, Vol. 4, No. 3, pp. 236-243, 1969